

「みらい」MR18-04 Leg2 ラジオゾンデ

最終更新日: 2020-09-06

ReadMe

観測データ

データフォーマット

航海番号: **MR18-04 Leg2**
ラジオゾンデ: Processed (DMO)-Corrected
データポリシー: **JAMSTEC**
観測データ項目: 気圧, 気温, 露点温度, 相対湿度, 風速 (東西, 南北成分), 高度
サイエンスキーワード:

大気

>

大気水蒸気量

>

露点

大気

>

大気水蒸気量

>

湿度

大気

>

大気温度

>

温度プロファイル

大気

>

風

>

高層風

大気

>

風

>

風鉛直分布

クルーズレポート
http://www.godac.jamstec.go.jp/catalog/data/doc_catalog/media/MR18-04_leg2_all.pdf

📌 データのご利用にあたって

データ責任者

情報管理部署

データの利用制限

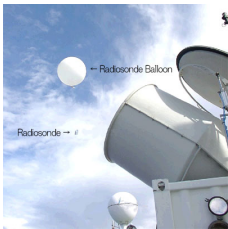
データ利用の制限については [注意事項](#) をご参照ください。

引用方法

データの引用については [注意事項](#) をご参照ください。

観測機器

機器名:
ラジオゾンデ (MR15-01 -)



補正
・船体影響補正
観測船の船体は昼間は日射により加熱され、夜間は冷却される。船体近傍の気温および湿度データはこの影響を強く受けるため、観測データから船体影響を除去する必要がある。ここでは船体近傍（甲板から気圧で4.5hPa下がる高度まで）において、上層のデータを用いて外挿を行うことにより船体影響の補正を行った。手法の詳細はYoneyama et al. 2002の[日本語版](#)を参照のこと。

備考
下記の表に各観測情報を示す。内容は観測データ、放球日時、放球位置（緯度、経度）、センサーの型式、センサーのシリアルナンバー、放球前キャリブレーション時の補正値（気圧、気温、相対湿度）である。データファイル名はUTCにおける観測時刻を示す（YYMMDDHH.dat, YY=年、MMM=月、DD=日、HH=時刻）。下記の表に記載のcalibration result は、放球時較正前のゾンデセンサーの指示値と基準器の指示値の差であり、後者が前者よりも高い値を示した場合には、補正値は正として示してある（但し、RS41センサー使用している場合は、湿度センサーは1つであり、気温補正不要である）。なおデータページの各ファイルに記載されている鉛直プロファイルの数値は、この補正を施した後の値を示す。

| Data file | Launch time (UTC) | | Launch station | | Sensor information | | | Calibration result | | | | Note |
|--------------|-------------------|-------|----------------|-----------|--------------------|------------|-----|-------------------------------|----------------------------|---------------------------|---------------------------|---------|
| | Date | Time | Latitude | Longitude | Type | Serial No. | Age | Atmospheric pressure [hPa] | Air temperature [deg-C] | Relative humidity1 [%] | Relative humidity2 [%] | |
| 18081400.dat | 2018/08/13 | 23:30 | 3.48N | 154.22E | RS41-SGP | N5230153 | 236 | 0.89 | N/A | -0.2 | N/A | Drizzle |
| 18081406.dat | 2018/08/14 | 05:30 | 2.44N | 154.76E | RS41-SGP | N5230166 | 237 | 0.77 | N/A | -0.3 | N/A | |
| 18081412.dat | 2018/08/14 | 11:30 | 1.38N | 155.31E | RS41-SGP | N5230130 | 237 | 0.78 | N/A | -0.2 | N/A | |
| 18081418.dat | 2018/08/14 | 17:30 | 0.49N | 155.78E | RS41-SGP | P0150689 | 221 | 0.69 | N/A | -0.2 | N/A | Drizzle |
| 18081500.dat | 2018/08/14 | 23:31 | 0.04N | 156.05E | RS41-SGP | P2320194 | 70 | 0.93 | N/A | 0.2 | N/A | |
| 18081506.dat | 2018/08/15 | 05:30 | 0.00N | 156.04E | RS41-SGP | P2320168 | 71 | 0.91 | N/A | 0.1 | N/A | Drizzle |
| 18081512.dat | 2018/08/15 | 11:30 | 0.04N | 155.99E | RS41-SGP | P2320193 | 71 | 0.76 | N/A | 0.3 | N/A | Rain |
| 18081518.dat | 2018/08/15 | 17:30 | 0.03N | 155.96E | RS41-SGP | P2320165 | 71 | 0.93 | N/A | 0.2 | N/A | |
| 18081600.dat | 2018/08/15 | 23:30 | 0.02S | 155.96E | RS41-SGP | P2320196 | 71 | 0.66 | N/A | 0.2 | N/A | |
| 18081606.dat | 2018/08/16 | 05:30 | 0.00N | 156.10E | RS41-SGP | P2320195 | 72 | 0.59 | N/A | 0.3 | N/A | |
| 18081612.dat | 2018/08/16 | 11:31 | 0.04S | 156.13E | RS41-SGP | P2320167 | 72 | 0.80 | N/A | 0.3 | N/A | Rain |
| 18081618.dat | 2018/08/16 | 17:30 | 0.03S | 156.14E | RS41-SGP | P2320275 | 72 | 0.73 | N/A | 0.3 | N/A | |
| 18081700.dat | 2018/08/16 | 23:30 | 0.06S | 156.14E | RS41-SGP | P2320164 | 72 | 0.93 | N/A | 0.2 | N/A | Rain |
| 18081706.dat | 2018/08/17 | 05:30 | 0.04S | 156.14E | RS41-SGP | P2320198 | 73 | 0.81 | N/A | 0.3 | N/A | |
| 18081712.dat | 2018/08/17 | 11:30 | 0.33N | 155.38E | RS41-SGP | P2320163 | 73 | 0.96 | N/A | 0.4 | N/A | |
| 18081718.dat | 2018/08/17 | 17:30 | 0.73N | 154.36E | RS41-SGP | P2320282 | 73 | 0.84 | N/A | 0.2 | N/A | |
| 18081800.dat | 2018/08/17 | 23:30 | 1.14N | 153.28E | RS41-SGP | P2320286 | 73 | 0.93 | N/A | 0.3 | N/A | |
| 18081812.dat | 2018/08/18 | 11:30 | 1.99N | 151.07E | RS41-SGP | P2320166 | 74 | 0.89 | N/A | 0.3 | N/A | |
| 18081818.dat | 2018/08/18 | 17:30 | 2.43N | 150.01E | RS41-SGP | P2320276 | 74 | 0.97 | N/A | 0.3 | N/A | |
| 18081900.dat | 2018/08/18 | 23:30 | 2.88N | 148.97E | RS41-SGP | P2320278 | 74 | 0.88 | N/A | 0.3 | N/A | |
| 18081912.dat | 2018/08/19 | 11:30 | 4.00N | 146.92E | RS41-SGP | N5230142 | 242 | 0.87 | N/A | -0.4 | N/A | |

| File Name | Launch time (UTC) | Launch station | Latitude | Longitude | RS41-SGP Type | Serial No. | Age | Atmospheric pressure | Air temperature | Relative humidity1 | Relative humidity2 | Note |
|--------------|-------------------|----------------|----------|-----------|---------------|------------|------------|----------------------|-----------------|--------------------|--------------------|---------|
| 18081918.dat | 2018/08/19 17:30 | 4.58N | 144.88E | RS41-SGP | N5230143 | 242 | 0.59 | N/A | -0.1 | N/A | | |
| 18082000.dat | 2018/08/19 23:30 | 5.10N | 144.79E | RS41-SGP | P0150135 | 226 | 0.73 | N/A | -0.1 | N/A | | |
| 18082012.dat | 2018/08/20 11:30 | 5.94N | 142.54E | RS41-SGP | N5230179 | 243 | 0.88 [hPa] | N/[deg-C] | -0.1 [%] | N/A [%] | | |
| 18082018.dat | 2018/08/20 17:30 | 6.32N | 141.38E | RS41-SGP | N5230154 | 243 | 0.60 | N/A | -0.4 | N/A | | |
| 18082100.dat | 2018/08/20 23:33 | 6.70N | 140.16E | RS41-SGP | N5230136 | 243 | 0.87 | N/A | -0.1 | N/A | | |
| 18082106.dat | 2018/08/21 05:30 | 7.02N | 139.04E | RS41-SGP | N5230140 | 244 | 0.79 | N/A | -0.2 | N/A | | |
| 18082112.dat | 2018/08/21 11:30 | 7.35N | 137.95E | RS41-SGP | N5230127 | 244 | 0.77 | N/A | -0.1 | N/A | | |
| 18082118.dat | 2018/08/21 17:30 | 7.60N | 136.98E | RS41-SGP | N5230155 | 244 | 0.60 | N/A | -0.3 | N/A | | |
| 18082200.dat | 2018/08/21 23:35 | 7.69N | 136.73E | RS41-SGP | P2320281 | 77 | 0.94 | N/A | 0.3 | N/A | | |
| 18082206.dat | 2018/08/22 05:30 | 7.64N | 136.71E | RS41-SGP | N5230102 | 245 | 0.83 | N/A | -0.2 | N/A | | |
| 18082212.dat | 2018/08/22 11:30 | 7.89N | 136.50E | RS41-SGP | N5230128 | 245 | 0.73 | N/A | -0.1 | N/A | | |
| 18082218.dat | 2018/08/22 17:30 | 7.89N | 136.50E | RS41-SGP | N5230134 | 245 | 0.72 | N/A | -0.1 | N/A | | |
| 18082300.dat | 2018/08/22 23:30 | 7.86N | 136.51E | RS41-SGP | N5230175 | 245 | 0.63 | N/A | -0.1 | N/A | | |
| 18082306.dat | 2018/08/23 05:30 | 7.90N | 136.45E | RS41-SGP | N5230177 | 246 | 0.66 | N/A | -0.3 | N/A | | |
| 18082312.dat | 2018/08/23 11:30 | 9.05N | 136.56E | RS41-SGP | N5230129 | 246 | 0.68 | N/A | -0.2 | N/A | | |
| 18082318.dat | 2018/08/23 17:30 | 10.24N | 136.68E | RS41-SGP | N5230178 | 246 | 0.55 | N/A | -0.3 | N/A | | |
| 18082400.dat | 2018/08/23 23:30 | 11.46N | 136.74E | RS41-SGP | N5230145 | 246 | 0.81 | N/A | -0.2 | N/A | | |
| 18082406.dat | 2018/08/24 05:30 | 12.71N | 136.86E | RS41-SGP | N5230186 | 247 | 0.61 | N/A | -0.1 | N/A | | |
| 18082412.dat | 2018/08/24 11:30 | 13.13N | 136.94E | RS41-SGP | P2320271 | 80 | 0.91 | N/A | 0.4 | N/A | | Drizzle |
| 18082415.dat | 2018/08/24 14:30 | 13.14N | 136.94E | RS41-SGP | P2320279 | 80 | 0.82 | N/A | 0.3 | N/A | | |
| 18082418.dat | 2018/08/24 17:30 | 13.12N | 136.94E | RS41-SGP | P2320274 | 80 | 0.89 | N/A | 0.3 | N/A | | |
| 18082421.dat | 2018/08/24 20:30 | 13.08N | 137.08E | RS41-SGP | P2320347 | 80 | 0.81 | N/A | 0.3 | N/A | | |
| 18082500.dat | 2018/08/24 23:30 | 13.16N | 136.81E | RS41-SGP | P2320197 | 80 | 0.68 | N/A | 0.2 | N/A | | |
| 18082503.dat | 2018/08/25 02:22 | 13.13N | 136.87E | RS41-SGP | P2320273 | 81 | 0.82 | N/A | 0.5 | N/A | | |
| 18082506.dat | 2018/08/25 05:30 | 13.13N | 136.93E | RS41-SGP | P2320345 | 81 | 0.85 | N/A | 0.1 | N/A | | |
| 18082509.dat | 2018/08/25 08:30 | 13.15N | 136.90E | RS41-SGP | P2320348 | 81 | 0.82 | N/A | 0.2 | N/A | | |
| 18082512.dat | 2018/08/25 11:30 | 13.14N | 136.87E | RS41-SGP | P2320272 | 81 | 0.80 | N/A | 0.4 | N/A | | |
| 18082515.dat | 2018/08/25 14:30 | 13.01N | 136.68E | RS41-SGP | P2320343 | 81 | 0.78 | N/A | 0.3 | N/A | | |
| 18082518.dat | 2018/08/25 17:30 | 13.00N | 136.68E | RS41-SGP | P2320280 | 81 | 0.93 | N/A | 0.1 | N/A | | |
| 18082521.dat | 2018/08/25 20:30 | 13.00N | 136.70E | RS41-SGP | P2310618 | 82 | 0.81 | N/A | 0.2 | N/A | | |
| 18082600.dat | 2018/08/25 23:30 | 13.01N | 136.71E | RS41-SGP | P2320367 | 81 | 0.89 | N/A | 0.3 | N/A | | |
| 18082603.dat | 2018/08/26 02:30 | 13.02N | 136.72E | RS41-SGP | P2320346 | 82 | 0.88 | N/A | 0.4 | N/A | | |
| 18082606.dat | 2018/08/26 05:30 | 12.99N | 136.70E | RS41-SGP | P2320337 | 82 | 0.87 | N/A | 0.2 | N/A | | |
| 18082609.dat | 2018/08/26 08:30 | 13.00N | 136.71E | RS41-SGP | P2310882 | 83 | 0.94 | N/A | 0.2 | N/A | | |
| 18082612.dat | 2018/08/26 11:30 | 13.00N | 136.72E | RS41-SGP | P2320341 | 82 | 1.03 | N/A | 0.2 | N/A | | |
| 18082615.dat | 2018/08/26 14:30 | 13.01N | 136.70E | RS41-SGP | P2320342 | 82 | 0.89 | N/A | 0.1 | N/A | | |
| 18082618.dat | 2018/08/26 17:30 | 13.00N | 136.69E | RS41-SGP | P2320329 | 82 | 0.94 | N/A | 0.4 | N/A | | |
| 18082621.dat | 2018/08/26 20:30 | 13.01N | 136.70E | RS41-SGP | P2320302 | 82 | 0.77 | N/A | 0.3 | N/A | | |
| 18082700.dat | 2018/08/26 23:30 | 13.00N | 136.70E | RS41-SGP | P2320330 | 82 | 0.64 | N/A | 0.2 | N/A | | |
| 18082703.dat | 2018/08/27 02:30 | 13.00N | 136.72E | RS41-SGP | P2320328 | 83 | 1.01 | N/A | 0.2 | N/A | | |
| 18082706.dat | 2018/08/27 05:30 | 13.01N | 136.70E | RS41-SGP | P2320327 | 83 | 1.00 | N/A | 0.2 | N/A | | |
| 18082709.dat | 2018/08/27 08:30 | 13.01N | 136.71E | RS41-SGP | P2320326 | 83 | 0.85 | N/A | 0.2 | N/A | | |
| 18082712.dat | 2018/08/27 11:30 | 13.00N | 136.71E | RS41-SGP | P2320325 | 83 | 1.06 | N/A | 0.2 | N/A | | |
| 18082715.dat | 2018/08/27 14:30 | 12.99N | 136.71E | RS41-SGP | P2320371 | 83 | 0.90 | N/A | 0.3 | N/A | | Drizzle |
| 18082718.dat | 2018/08/27 17:30 | 12.94N | 136.83E | RS41-SGP | P2320368 | 83 | 0.93 | N/A | 0.3 | N/A | | |
| 18082721.dat | 2018/08/27 20:29 | 12.87N | 136.91E | RS41-SGP | P2320369 | 83 | 1.01 | N/A | 0.3 | N/A | | |
| 18082800.dat | 2018/08/27 23:30 | 12.87N | 136.88E | RS41-SGP | P2320338 | 83 | 0.87 | N/A | 0.2 | N/A | | |
| 18082803.dat | 2018/08/28 02:29 | 12.88N | 136.89E | RS41-SGP | P2320291 | 84 | 0.69 | N/A | 0.3 | N/A | | |
| 18082806.dat | 2018/08/28 05:30 | 12.78N | 136.51E | RS41-SGP | P2320339 | 84 | 0.85 | N/A | 0.3 | N/A | | |
| 18082809.dat | 2018/08/28 08:30 | 12.80N | 136.43E | RS41-SGP | P2320340 | 84 | 0.89 | N/A | 0.3 | N/A | | |
| 18082812.dat | 2018/08/28 11:30 | 12.81N | 136.42E | RS41-SGP | P2320304 | 84 | 0.75 | N/A | 0.3 | N/A | | |
| 18082818.dat | 2018/08/28 17:30 | 13.73N | 136.71E | RS41-SGP | N5230147 | 251 | 0.79 | N/A | -0.1 | N/A | | Rain |
| 18082900.dat | 2018/08/28 23:30 | 14.88N | 137.11E | RS41-SGP | N5230184 | 251 | 0.63 | N/A | -0.2 | N/A | | |
| 18082906.dat | 2018/08/29 05:30 | 16.00N | 137.41E | RS41-SGP | N5230157 | 252 | 0.90 | N/A | -0.2 | N/A | | |
| 18082912.dat | 2018/08/29 11:30 | 17.12N | 137.77E | RS41-SGP | N5230135 | 252 | 0.70 | N/A | -0.2 | N/A | | |
| 18082918.dat | 2018/08/29 17:30 | 18.27N | 138.00E | RS41-SGP | N5230181 | 252 | 0.69 | N/A | -0.2 | N/A | | |
| 18083000.dat | 2018/08/29 23:54 | 19.51N | 138.23E | RS41-SGP | N5230183 | 252 | 0.77 | N/A | -0.3 | N/A | | |
| 18083006.dat | 2018/08/30 05:30 | 20.49N | 138.48E | RS41-SGP | N5230137 | 253 | 0.60 | N/A | -0.4 | N/A | | |
| 18083012.dat | 2018/08/30 11:30 | 21.59N | 138.64E | RS41-SGP | N5230161 | 253 | 0.84 | N/A | -0.2 | N/A | | |
| 18083018.dat | 2018/08/30 17:30 | 22.73N | 138.88E | RS41-SGP | N5230131 | 253 | 0.75 | N/A | -0.2 | N/A | | |
| 18083100.dat | 2018/08/30 23:30 | 23.92N | 139.12E | RS41-SGP | N5230180 | 253 | 0.74 | N/A | -0.2 | N/A | | |
| 18083106.dat | 2018/08/31 05:30 | 25.09N | 139.34E | RS41-SGP | N5230152 | 254 | 0.61 | N/A | -0.2 | N/A | | |
| 18083112.dat | 2018/08/31 11:30 | 26.30N | 139.59E | RS41-SGP | N5230165 | 254 | 0.79 | N/A | -0.2 | N/A | | |
| 18083118.dat | 2018/08/31 17:30 | 27.47N | 139.87E | RS41-SGP | N5230167 | 254 | 0.79 | N/A | -0.2 | N/A | | |
| 18090100.dat | 2018/08/31 23:30 | 28.67N | 140.12E | RS41-SGP | N5230162 | 254 | 1.02 | N/A | -0.1 | N/A | | |
| 18090106.dat | 2018/09/01 05:30 | 29.83N | 140.38E | RS41-SGP | N5230182 | 255 | 0.61 | N/A | -0.1 | N/A | | |
| 18090112.dat | 2018/09/01 11:30 | 30.99N | 140.75E | RS41-SGP | N5230185 | 255 | 0.72 | N/A | -0.1 | N/A | | |
| 18090118.dat | 2018/09/01 17:30 | 32.20N | 141.19E | RS41-SGP | P2320285 | 88 | 0.83 | N/A | 0.3 | N/A | | |
| 18090200.dat | 2018/09/01 23:30 | 33.40N | 141.52E | RS41-SGP | P2320301 | 88 | 0.75 | N/A | 0.3 | N/A | | |

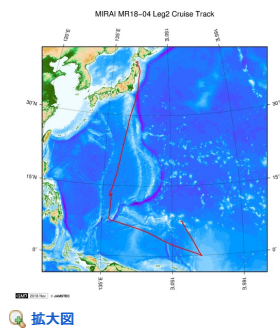
参考文献

K. Yoneyama, M.Hanyu, S.Sueyoshi, F.Yoshiura, and M.Katsumata, 2002:Radiosonde observation from the ship in the tropical region. [\[PDF:400kbyte\]](#)
JAMSTECR, Vol.45, 31-39.

その他

- ・ Main processor: DigiCORA, MW41(after 2015 Jun.) [VAISALA, Finland]
- ・ Launcher Location: 22m (from base line)

関連情報



拡大図

MR18-04 Leg2

船舶名: みらい

期間: 2018-08-12 - 2018-09-06

主席/首席: 勝俣 昌己 (海洋研究開発機構)

課題名: 西太平洋スーパーサイト網の構築と拡充に向けた観測研究

更新履歴

2020-09-06 観測データを登録しました。

JAMSTEC

サイトポリシー
個人情報保護について
オフラインデータとサンプルの利用申請
データポリシー

更新情報

サイト更新履歴
フィード一覧

一覧

公表成果一覧
公開情報件数
データを探す
地図検索
データツリー
詳細検索

船舶の紹介

なつしま
かいよう
よこすか
みらい
かいいい
ちきゅう
かいいい
新青丸
白鳳丸

潜水船の紹介

かいこう
しんかい2000
しんかい6500
ディープ・トウ
ハイバードルフィン
うらしま
よこすかディープ・トウ
6Kカメラディープ・トウ
6Kソーナーディープ・トウ
KM-ROV
シェル型パワーグラブ
爪型パワーグラブ
海底設置型掘削装置

航海情報へ

航海番号: Go

潜航情報へ

潜航番号: Go

Copyright 2011 Japan Agency for Marine-Earth Science and Technology



JAMSTEC
JAPAN AGENCY FOR MARINE-EARTH SCIENCE AND TECHNOLOGY

国立研究開発法人
海洋研究開発機構

「みらい」 MR18-04 Leg2 ラジオゾンデ

最終更新日: 2020-09-06

ReadMe 観測データ データフォーマット

航海番号: **MR18-04 Leg2**

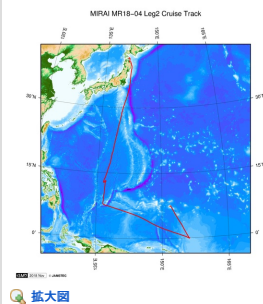
ラジオゾンデ: Processed (DMO)-Corrected

データポリシー: **JAMSTEC**

Radiosonde Corrected

| No. | カラム | 内容 | 表示形式 | 単位 | 備考 |
|-----|---------|-----------|------|-------|---------------|
| 1 | 3 - 8 | 気圧 | f6.1 | hPa | |
| 2 | 10 - 15 | 気温 | f6.1 | deg-C | '9999.0': 欠測値 |
| 3 | 17 - 22 | 露点温度 | f6.1 | deg-C | '9999.0': 欠測値 |
| 4 | 24 - 27 | 相対湿度 | i4 | % | '9999': 欠測値 |
| 5 | 29 - 34 | 風速 (東西成分) | f6.1 | m/sec | '9999.0': 欠測値 |
| 6 | 36 - 41 | 風速 (南北成分) | f6.1 | m/sec | '9999.0': 欠測値 |
| 7 | 44 - 48 | 高度 | i5 | m | '99999': 欠測値 |
| 8 | 49 - 50 | ターミネータ | a2 | | CR+LF |

関連情報



MR18-04 Leg2

船舶名: みらい

期間: 2018-08-12 - 2018-09-06

主席/首席: 勝俣 昌己 (海洋研究開発機構)

課題名: 西太平洋スーパーサイト網の構築と拡充に向けた観測研究

更新履歴

2020-09-06 観測データを登録しました。

JAMSTEC

サイトポリシー
個人情報保護について
オフラインデータとサン
ブルの利用申請
データポリシー

更新情報

サイト更新履歴
フィード一覧

一覧

公表成果一覧
公開情報件数
データを探す
地図検索
データツリー
詳細検索

船舶の紹介

なつしま
かいよう
よこすか
みらい
かいいい
ちきゅう
かいいい
新雪丸
白鳳丸

潜水船の紹介

かいこう
しんかい2000
しんかい6500
ディープ・トウ
ハイバードルフィン
うらしま
よこすかディープ・トウ
6Kカメラディープ・トウ
6Kソーナーディープ・トウ
KM-ROV
シェル型パワーグラフ
爪型パワーグラフ
海底設置型掘削装置

航海情報へ

航海番号: Go

潜航情報へ

潜航番号: Go

「みらい」 MR18-04 Leg2 ラジオゾンデ

最終更新日: 2020-09-06

ReadMe 観測データ データフォーマット

航海番号: MR18-04 Leg2

ラジオゾンデ: Processed (DMO)-Corrected

データポリシー: JAMSTEC

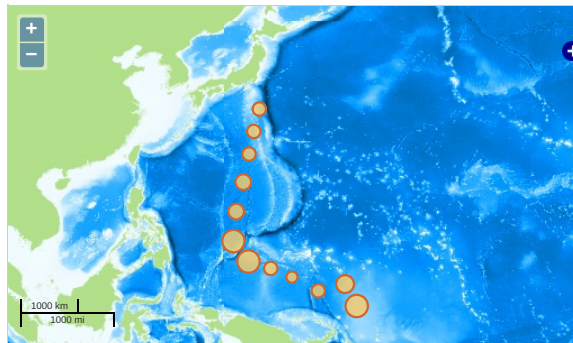
観測データ項目: 気圧, 気温, 露点温度, 相対湿度, 風速 (東西, 南北成分), 高度

サイエンスキーワード:

大気 > 大気水蒸気量 > 露点
大気 > 大気水蒸気量 > 湿度
大気 > 大気温度 > 温度プロファイル
大気 > 風 > 高層風
大気 > 風 > 風鉛直分布

観測位置

- 地図上のアイコン (観測点) をクリックすると、その観測点に含まれる観測をバレーンに表示します。
- 観測名をクリックすると観測に関するグラフが表示されます。



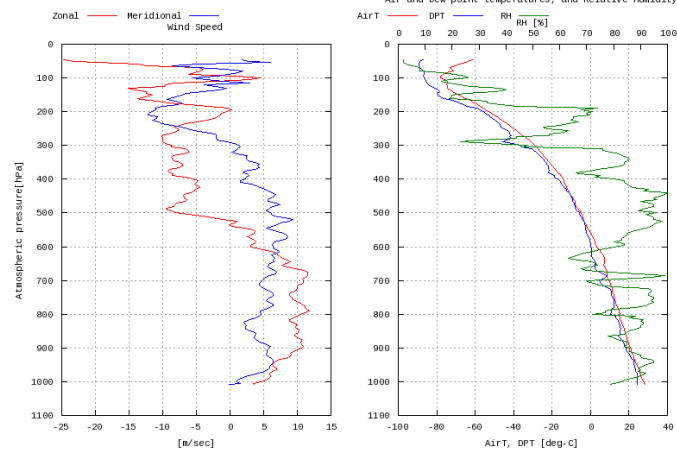
Imagery reproduced from ...

... 測線 ... 航跡 ... 観測点、潜航点、掘削点

グラフ

18081400



MR18-04 Leg2: 18081400
Radiosonde



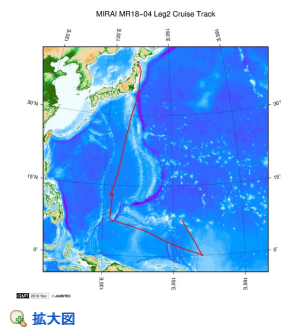
データリスト

バスケットに追加

| <input type="checkbox"/> ファイル名 |
|---------------------------------------|
| <input type="checkbox"/> 18081400.dat |
| <input type="checkbox"/> 18081406.dat |
| <input type="checkbox"/> 18081412.dat |
| <input type="checkbox"/> 18081418.dat |
| <input type="checkbox"/> 18081500.dat |
| <input type="checkbox"/> 18081506.dat |
| <input type="checkbox"/> 18081512.dat |
| <input type="checkbox"/> 18081518.dat |
| <input type="checkbox"/> 18081600.dat |
| <input type="checkbox"/> 18081606.dat |
| <input type="checkbox"/> 18081612.dat |
| <input type="checkbox"/> 18081618.dat |
| <input type="checkbox"/> 18081700.dat |
| <input type="checkbox"/> 18081706.dat |

| | |
|---|--------------|
|  | 还源付元名.dat |
|  | 18081718.dat |
|  | 18081800.dat |
|  | 18081812.dat |
|  | 18081818.dat |
|  | 18081900.dat |
|  | 18081912.dat |
|  | 18081918.dat |
|  | 18082000.dat |
|  | 18082012.dat |
|  | 18082018.dat |
|  | 18082100.dat |
|  | 18082106.dat |
|  | 18082112.dat |
|  | 18082118.dat |
|  | 18082200.dat |
|  | 18082206.dat |
|  | 18082212.dat |
|  | 18082218.dat |
|  | 18082300.dat |
|  | 18082306.dat |
|  | 18082312.dat |
|  | 18082318.dat |
|  | 18082400.dat |
|  | 18082406.dat |
|  | 18082412.dat |
|  | 18082415.dat |
|  | 18082418.dat |
|  | 18082421.dat |
|  | 18082500.dat |
|  | 18082503.dat |
|  | 18082506.dat |
|  | 18082509.dat |
|  | 18082512.dat |
|  | 18082515.dat |
|  | 18082518.dat |
|  | 18082521.dat |
|  | 18082600.dat |
|  | 18082603.dat |
|  | 18082606.dat |
|  | 18082609.dat |
|  | 18082612.dat |
|  | 18082615.dat |
|  | 18082618.dat |
|  | 18082621.dat |
|  | 18082700.dat |
|  | 18082703.dat |
|  | 18082706.dat |
|  | 18082709.dat |
|  | 18082712.dat |
|  | 18082715.dat |
|  | 18082718.dat |
|  | 18082721.dat |
|  | 18082800.dat |
|  | 18082803.dat |
|  | 18082806.dat |
|  | 18082809.dat |
|  | 18082812.dat |
|  | 18082818.dat |
|  | 18082900.dat |
|  | 18082906.dat |
|  | 18082912.dat |
|  | 18082918.dat |
|  | 18083000.dat |
|  | 18083006.dat |
|  | 18083012.dat |
|  | 18083018.dat |
|  | 18083100.dat |
|  | 18083106.dat |
|  | 18083112.dat |
|  | 18083118.dat |
|  | 18090100.dat |
|  | 18090106.dat |
|  | 18090112.dat |
|  | 18090118.dat |
| | 18090200.dat |

関連情報



MR18-04 Leg2

船舶名: みらい

期間: 2018-08-12 - 2018-09-06

主席/首席: 勝俣 昌己 (海洋研究開発機構)

課題名: 西太平洋スーパーサイト網の構築と拡充に向けた観測研究

更新履歴

2020-09-06

観測データを登録しました。

JAMSTEC

サイトポリシー
個人情報保護について
オフラインデータとサンプルの利用申請
データポリシー

更新情報
サイト更新履歴
フィードバック

一覧
公表成果一覧
公開情報件数
データを探す
地図検索
データツリー
詳細検索

船舶の紹介
なつしま
かいよう
よこすか
みらい
かいいい
ちきゅう
かいいい
新青丸
白鳳丸

潜水船の紹介

かいこう
しんかい2000
しんかい6500
ディープ・トウ
ハイバードルフィン
うらしま
よこすかディープ・トウ
6Kカメラディープ・トウ
6Kソーナーディープ・トウ
KM-ROV
シェル型パワーグラブ
爪型パワーグラブ
海底設置型掘削装置

航海情報へ

航海番号: Go

潜航情報へ

潜航番号: Go

Copyright 2011 Japan Agency for Marine-Earth Science and Technology



JAMSTEC
JAPAN AGENCY FOR MARINE-EARTH SCIENCE AND TECHNOLOGY

国立研究開発法人
海洋研究開発機構